

PIC 16F648A を用いたストップウォッチの設計と試作

Design and Trial Manufacture of a Stop Watch with a PIC 16F648A Micro Computer

袴田 吉朗*

Yoshiro HAKAMATA

Abstract: The material summarizes the design of a stop watch that uses a PIC 16F648A micro computer as a controller. In 2007, I made an incentive lecture on a manufacture of a stop watch to the Shizuoka Kita High School students. And I also undertook the task of teaching a manufacture of the stop watch. The activities were made in the chain of the Super Science High-school (SSH) program.

1. はじめに

平成 19 年度に静岡北高校スーパーサイエンスハイスクール (SSH)におけるインセンティブ・レクチャー実施の依頼を受け、ストップウォッチに関する講義および製作実習を行った。本資料はストップウォッチの設計内容を取りまとめたものである。

2. ストップウォッチの回路

図 1 に試作した回路を示す。3 桁で 9 分 59 秒までのカウント動作、1 秒以内の精度を目標にした。図 2 に外観を示す。制御回路の 8 ビット CMOS マイコン PIC 16F648A、アノードコモン形の 7 セグメント LED (3 個)、トランジスタおよびその他の部品からなる。電池はリチウム電池であり、電圧は 3V である。

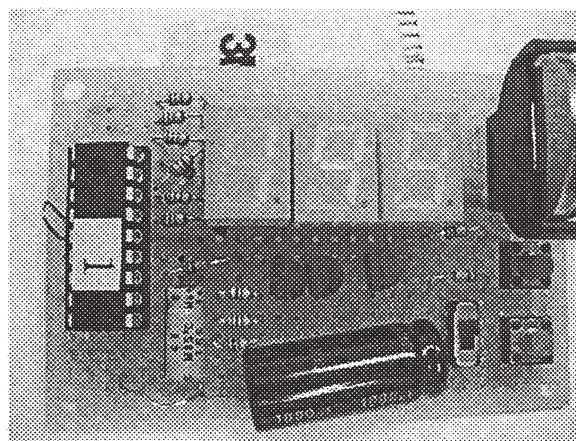


図 2 完成したストップウォッチ (1 分 45 秒を表示)

(1) リセット回路

10kΩの抵抗, 22μFのコンデンサおよびスイッチで構成している。リセットボタンを押すと 22μFのコンデンサにおける電荷が 0 となり、MCLR 端子が L となってリセットがかかる。

その後 10kΩの抵抗を通して 22μFのコンデンサが電源電圧にまで徐々に充電されるので、PIC が再び動作するようになる。ハードウェアリセット時にはプログラムの処理は図 3 のフローチャートにおける先頭に移るので、LED の表示は 0 クリアされる。

(2) start / stop SW

RA0 端子 (PORTA) にタクトスイッチを接続し、100kΩの抵抗で電源にプルアップしている。

(3) 7セグメント LED

アノードコモン形の LED を 3 個使用し、これらをダイナミック点灯させている。

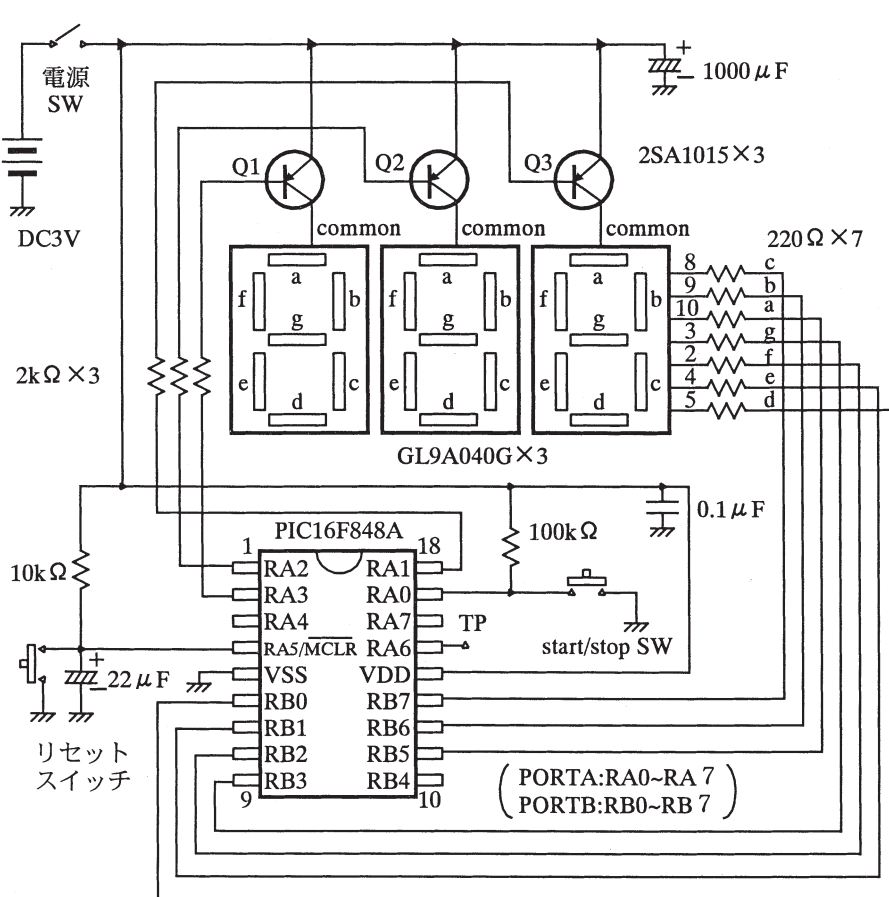


図1 ストップウォッチの回路図

2008 年 3 月 3 日受理

*理工学部 電気電子情報工学科

(4) 電流制限抵抗

7セグメント LED に流す電流を制限するために 220Ω の電流制限抵抗を用いている。LED の端子電圧は約 1.9V であるから LED に流れる電流は約 7mA となり、幾分少なめである。

3. ストップウォッチのプログラム構成

(1) 回路全体のフローチャート

ストップウォッチの動作を図3の概略フローチャートに示す。プログラムはメインプログラムと割り込みサービスルーチンからなる。

① メインプログラム

- ・ クロック周波数, 入出力ピンおよびタイマー0 割り込みの設定後, start / stop SW が押されるのを待つ。
- ・ start / stop SW が押されたら, 5ms 毎のタイマー0 割り込みを待つ無限ループを実行する (網掛けで示したループ)。
- ・ 再び start / stop SW が押されると, カウントを停止してその時のカウント値を表示する。
- ・ 再度 start / stop SW が押されると, 続きからカウントする。
- ・ 図 3 のフローチャートにはないが表示をクリアするためには, リセットスイッチを押す。

② 割り込みサービスルーチン (ISR)

- ・ タイマー0 割り込みが発生するとこのISRが5ms ごとにコールされる。割り込み終了時にプログラムを再開できるように必要なレジスタを待避した後, タイマー0 の割り込みフラグ TOIF を 0 クリアする。またカウンタ TMR0 に初期値を再設定して次の割り込みに備える。
- ・ カウント値を LED に表示する。
- ・ この割り込みが 200 回発生したか否かで1秒の経過を計測し, このときカウント値である1バイト変数 SEC_CNT (下位バイト) (あるいは SEC_CNTH (上位バイト)) をカウントアップする。
- ・ カウント値を BCD に変換後表示する。
- ・ 保存したレジスタを復帰してメインプログラムに戻る。

(2) 各種レジスタの設定

① CMCON レジスタ

CMCON レジスタにおいて CM2:CM0=111 とすることにより, コンパレータをオフとし, PORTA を I/O ピンとして使用できるようにする。設定を以下に示す。

```
MOVLW 0x07
MOVWF CMCON
```

② PORTA, PORTB レジスタ

PICにおける入出力ピンは, 「PORT レジス

タ」と呼ばれる 8 ビットのレジスタである。このレジスタの 1 ビット毎が入出力ピンに対応しており, さらに「TRIS レジスタ」を用いて各ピン毎に入力/出力を指定する (バンク 1)。設定を以下に示す。

```
MOVLW B'00000000' ; PORTB
MOVWF TRISB ; RB0~RB7 全出力
MOVLW B'00010001' ; PORTA
MOVWF TRISA ; RA0, RA4 入力
```

③ PCON レジスタ

以下の命令で内蔵クロックを 4MHz に設定する (バンク 1)。

```
BSF PCON, 3 ; 4MHz
```

④ OPTION_REG

プリスケアラの設定を以下に示す (バンク 1)。

```
MOVLW B'11000100' ; PS=32
MOVWF OPTION_REG
```

⑤ TMR0

タイマーカウンターの初期値の設定を以下に示す (バンク 0)。

```
T0_SETDATA EQU .100
MOVLW T0_SETDATA
MOVWF TMR0
```

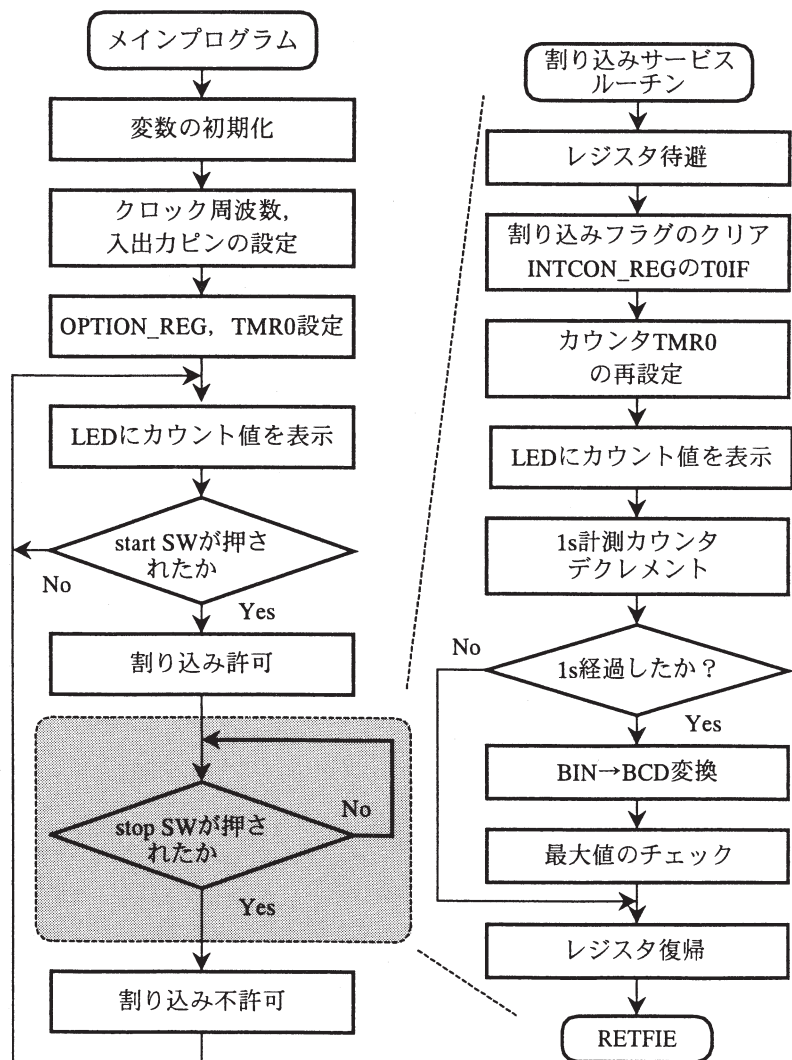


図3 ストップウォッチ・プログラムの概略フローチャート

(3) 内蔵クロックの設定

図4にPIC16F648Aのクロック回路を示す。図4におけるCPUCLK (F_{osc}) は、PICの1命令が4命令サイクルからできているため、更にカウンタによって1/4分周されて使用される。

部品点数を減らすためにPICに内蔵されている内部発振器を使用した。このため切り替えスイッチ1を用いてINTOSCに設定した。これは、プログラムのコンフィギュレーションにおいてINTOSCと記述することにより行っている。このときRA6/OSC2ピンからは $F_{osc}/4=1\text{MHz}$ のクロックが出力される。またRA7/OSC1ピンは通常のIOピンとして使用できる。

なおINTOSC_RCに設定すると、RA6/OSC2、RA7/OSC1ピンとも通常のIOピンとして使用できる。

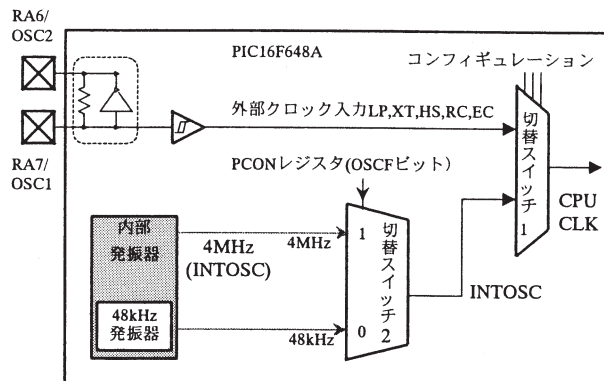


図4 PIC16F848Aにおけるクロック系統図

内部発振器の周波数は切り替えスイッチ2を用いて設定する。発振周波数は、プログラムにおいて図5に示すPCONレジスタのOSCFビットに書き込む値によって以下の値になる。

- OSCF=1 4MHz (typical)
- =0 48kHz (typical)

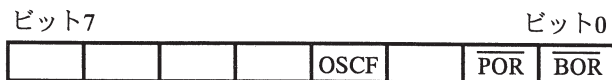


図5 PCONレジスタ (アドレス8Eh)

(4) タイマー0割り込みによる1sパルスの作成

図3に示したように1s毎にパルスを発生させる必要がありPIC16F648Aにおけるタイマー0割り込みを使用している。

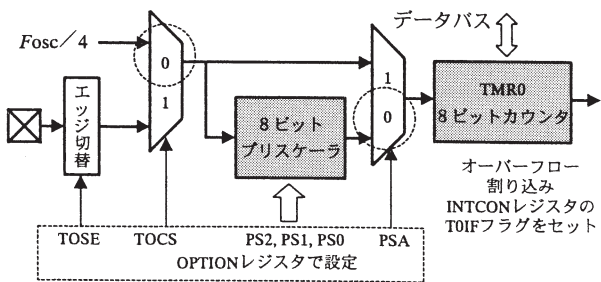


図6 タイマー0の内部構成

図6にタイマー0の内部構成を示す。8ビットのプリスケアラおよび8ビットのTMR0カウンタ本体からなる合計16ビットのカウンタによって構成されている。したがって最大で65536分周が可能である。

F_{osc} は図4に示したCPUCLKであり、 F_{osc} を1/4分周したクロックがタイマー0に入力されている。これは1命令が4個の命令サイクルからなるためである。図7はプログラムにおいてプリスケアラを設定するためのタイマー0制御用レジスタ(OPTION_REG)の内容である。

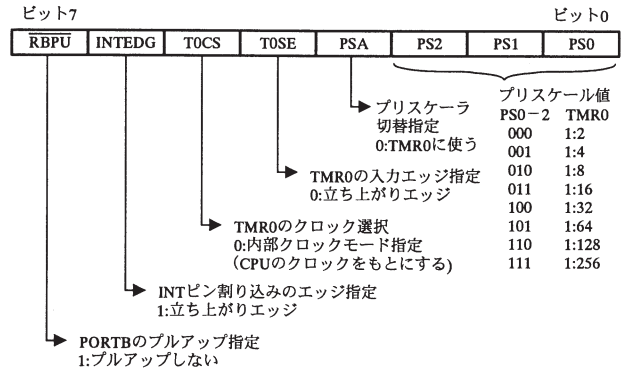


図7 OPTION_REGレジスタの内容

本プログラムでは $F_{osc}=4\text{MHz}$ を使用したもので、この場合におけるタイマー0の動作を図8によって説明する。図8(a)はタイマー0への入力クロックである。パルスの周期は周波数の逆数であるから $\frac{4}{F_{osc}}=1\mu\text{s}$ となる。プリスケアラ値は図7に示した8通りのみの設定が可能である。いまプリスケアラ値を $PS=32$ に設定すれば、図8(b)に示すようにプリスケアラにおける出力パルスの周期は

$$\frac{4}{F_{osc}} \times PS = 1\mu\text{s} \times 32 = 32\mu\text{s} \quad (1)$$

となる。このパルスがTMR0本体に入力されてさらに分周される。TMR0本体は8ビットのカウンタであり、最大でも得られる周期は

$$32\mu\text{s} \times 256 = 8192\mu\text{s} = 8.192\text{ms} \quad (2)$$

に過ぎない。したがってタイマー0では5ms周期のパルスを得るようにして、これをプログラムにおいて200回カウントして1sの時刻を得るものとする。

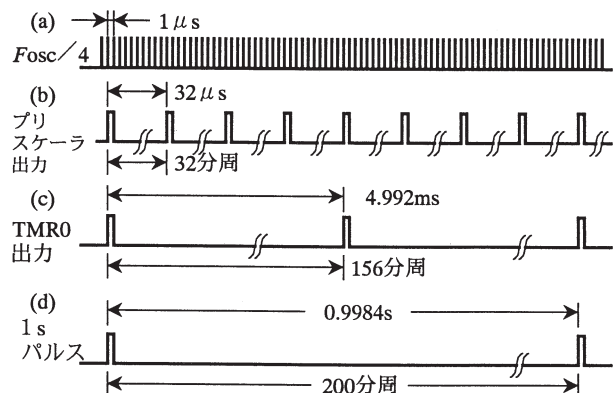


図8 タイマー0による分周動作 ($F_{osc}=4\text{MHz}$ の例)

$$\frac{5\text{ms}}{32\mu\text{s}} = 156.25 \quad (3)$$

であるから、式(3)の値を整数化してTMR0本体が156カウント

した時にタイマー0 から 1 個パルスが出力される (割り込みがかかる) ようにすれば良い。TMR0 本体は 0 から 255 まで順次カウント数が増大していくアップカウンタである。したがって最初に $256 - 156 = 100$ (=64H; H は 16 進数の意味) を設定しておけば、残り 156 をカウントした時にタイマー0 からパルスが出力され目的を達成できる。

TMR0 本体の設定値としてこの値を用い、さらにプログラムにおいて 200 回カウントするものとすれば

$$32\mu s \times 156 \times 200 = 998400\mu s = 0.9984s \quad (4)$$

となり正確には 1 秒とならない。9 分 59 秒間では

$$0.9984s \times (60 \times 9 + 59) = 598.042s \quad (5)$$

となる。正確には 9 分 59 秒=599 秒であるから計算上の誤差は 1 秒以下 (遅れ) である。

(5) LED のダイナミック点灯制御

PICによって7セグメントLEDを制御して複数桁を表示しようとする場合には、以下のような課題を解決する必要がある。

- a) 7セグメントLEDで3桁表示するためには、最低でも21本のPIC入出力ピンが必要である。しかしPIC16F648Aの入出力ピンは最大16本でありこのままでは対応できない。
- b) すべてのLEDを常時点灯させるようにすると消費電力が大きくなり、特に電池駆動の場合には電池が早く消耗するという問題がある。

上記の課題を一挙に解決する方法が「LEDのダイナミック点灯制御」と呼ばれる方法である。図1に示した回路は、図9に示す7セグメントLED(アノードコモン形)を用いて3桁の数字を表示する回路例である。

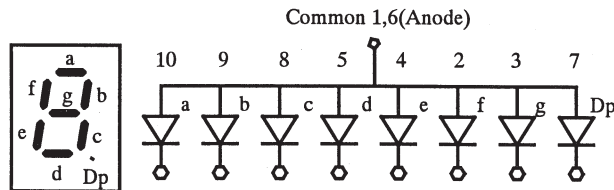


図9 7セグメントLED(アノードコモン)の接続

3個の7セグメントLEDにおける同じ記号のカソード電極は共通に接続(バス接続)し、電流制限抵抗を介してPICの出力ピン(PORTB)に接続している。一方、素子内部で共通接続されているアノード端子は、PNPトランジスタ2SA1015を介してPICにおけるPORTAから出力されるstrobe出力(桁ドライブ)に接続する。PNPトランジスタはエミッタ(E)に対してベース(B)の電圧を低くすると電流が流れるので、strobe出力がLになるとLEDが点灯する。このときstrobe出力が同時にLとならないようにプログラムで制御する必要がある。

図10にストップウォッチで使用するダイナミック点灯制御(3桁の場合)のタイミングチャートを示す。1秒の桁におけるデータを出力した後1秒の桁ドライブ信号(strobe信号)を5ms間Lにして1秒のLEDを点灯させ、その後10秒桁、1分桁についても同様に行う。その後は同じ動作を繰り返す。

このようにすると、ある瞬間では一つの桁だけが点灯してい

るが、人間の目には「残像現象」があり、一度光を見ると光が消えた後も約100ms程度はその光を連続して見ているように錯覚し各桁が連続して点灯しているように見えることになる。

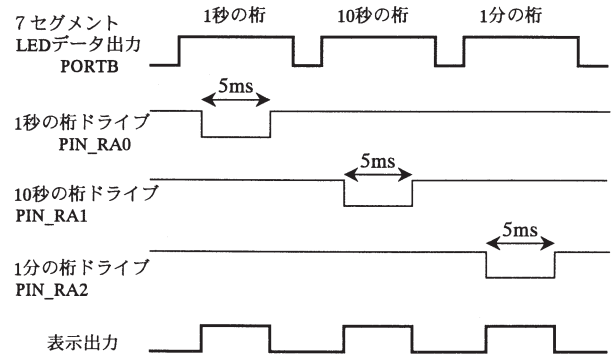


図10 ダイナミック点灯制御のタイミングチャート

図11にダイナミック点灯制御のフローチャートを示す。5ms毎に割り込みがかかるので、この度に変数COLUMNの値を1→2→4→1→・・・と巡回させ点灯を制御する。関数の冒頭で全LEDを消灯させ、その後COLUMNの値にしたがって1桁ずつ点灯させている。最初はこの部分をメインプログラムにおける網掛けを施した部分に挿入していたが、期待通りの動作にならなかったためISRに移行させた。

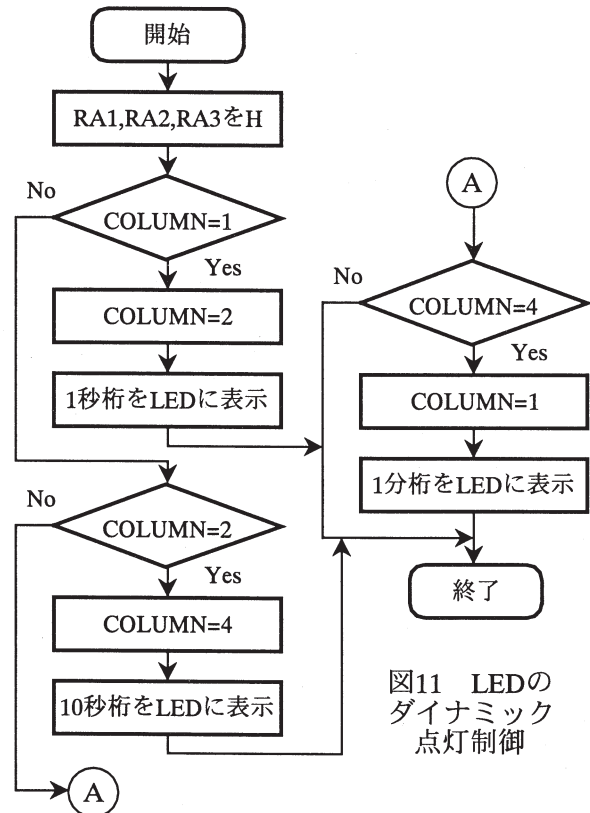


図11 LEDのダイナミック点灯制御

(6) バイナリ→BCD変換

0~9分59秒の時刻データを秒単位で表すと0~599秒になる。この時刻データを、ISRにおいて2個の1バイト変数SEC_CNT(下位バイト)およびSEC_CNTH(上位バイト)にバイナリデータとして格納している。したがってLEDに表示する前に、バイナリデータをBCDデータ(MINT, SEC_HIGH, SEC_LOW)

に変換して、各LEDに対応させておく必要がある。

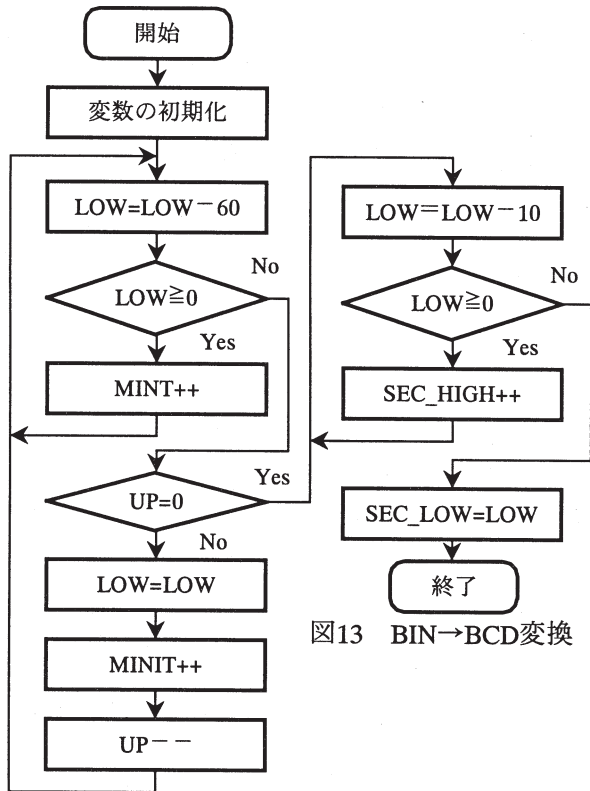


図13 BIN→BCD変換

図13がBIN→BCD変換プログラムのフローチャートであり、文献 [2] を参考にして作成した。LOWはSEC_CNTを格納する一時変数、UPはSEC_CNTHを格納する一時変数である。処理は以下ようになる。

- ① まず、最初のブロックではLOW=SEC_CNTから差が負になるまで60を引いていき、引くことができた回数をMINTに格納する。
- ② 次のブロックでは、もし上位桁UP=SEC_CNTHが0ならばこれ以上引けないので、10秒桁を求めるために④に移る。
- ③ 0でなければ、上位桁から借りてくることにより60が引けることになる。ここでLOWの値として1番目のブロックで計算した負になっているLOWの値を用いるが、この理由については(7)において説明する。
- ④ 3番目のブロックでは、すでにUP=0となっている。この条件下でLOWから10を引いていき、負になるまで引き続けていって10秒桁を求め、

ビット		
7	6543210	
1	00000000	+256
0	11111111	+255
0	11111110	+254
	:	② :
0	10000001	+129
0	10000000	+128
0	01111111	+127
0	01111110	+126
	:	:
0	00000100	+4
0	00000011	+3
0	00000010	+2
0	00000001	+1
0	00000000	+0
1	11111111	-1
1	11111110	-2
	:	① :
1	10000001	-127
1	10000000	-128

図14 2の補数による符号付き2進整数

これをSEC_HIGHに格納する。

⑤ LOWの残りをSEC_LOWとする。

(7) 上位桁からのボローの計算

(4)の③において、UPが0でない場合にLOWの値として1番目のブロックで計算した結果として負になっている値を用いるが、これは以下の理由による。

図14は、2の補数による符号付き2進整数を表したものである。ビット7が1となるブロック①は8ビットにおける-128~-1の負数を表すが、これらのブロックにおけるビットの並びは+128~+255を表すブロック②における並びと全く同じである。ブロック①②はUPの値によって識別できる。このためUP=1が確認できれば、(6)③のような計算を行っても差し支えないことが分かる。

(8) 時刻データにおける最大値のチェックと初期化

時刻データが最大値599になったとき、各種の変数を初期化する必要がある。これを図15に示すフローチャートに従って行っている。

	cba	gfed
0	0001	1000
1	0011	1111
2	1001	0100
3	0001	0110
4	0011	0011
5	0101	0010
6	0101	0000
7	0001	1111
8	0001	0000
9	0001	0011

図16 LEDのデータ

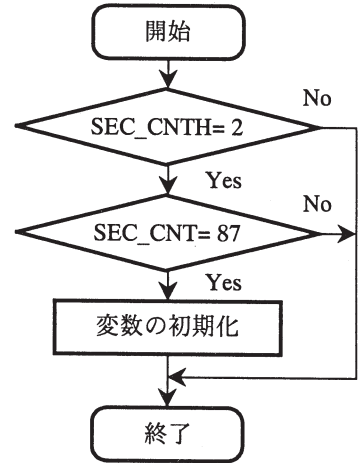


図15 時刻データの最大値の検出

(9) BCD→7セグメント変換

アノード共通形の7セグメントLED (GL9A040G) を使用している。ピン配置を考慮してポートBの出力データを図16のように設定した。カソード共通形におけるデータのビットを反転して呼び出すことを基本としているが、配線の都合上から上位4ビットと下位4ビットを交換している。

(10) ボタン押下の検出

start/stop SW が押されたか否かをプログラムで検出するときに、接点がついたり離れたりする「チャタリング」が生ずる。

本プログラムでは、このためいったん入力の変化を検出してから、チャタリングが終了するのにかかる時間であると予想される5msの間タイマーを入れて待つようにした(図17)。その後再度データを入力し、最初に検出したデータ(0)と同じデータ(0)であることが確認できた場合に次の処理に進むようにした。もし再度確認した時にデータが1であれば、上記の条件が満足されるまで待つようにしている。

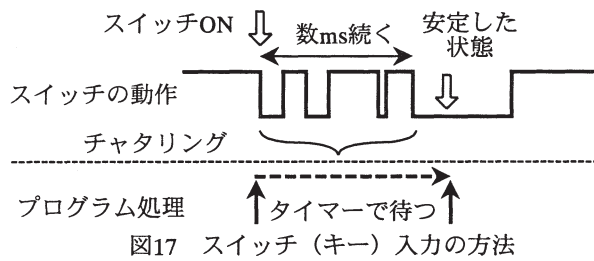


図17 スイッチ（キー）入力の方法

なお実際のタクトスイッチを押した場合の動作を測定したところ、チャタリングは予想よりは少なかったものの、Lとなる時間が最低でも約100msと長いことが分かった。このためスイッチを押して離してもすぐ応答せず、反応が鈍いという症状が出て使い勝手が良くなかった。そこで再読込後 PORTA の RA0 を強制的に H となるように制御している。

4. 試作結果および高精度化の検討

(1) 全部で10台試作した。市販のストップウォッチと比較しながら9分59秒間のカウント試験を行ったが、最悪10秒程度の誤差の出るものがあった。そこで以下の検討を行った。

(2) プログラムにおける流れの見直し

大きな誤差の出る原因は、図3のフローチャートにおいて「1s計測カウンタのデクレメント」～「最大値チェック」の部分をISRに入れており、時刻のカウント値によってISRの処理時間の異なることが一要因と考えられる。特に1秒経過後の処理時間が大きい。このため、「1s計測カウンタのデクレメント」以外の部分をメインプログラムの網掛けを施した部分に再度移行してみた。

なおタイミングを制御するためにISRに変数start_flagを導入し、ISRがコールされたときにこの変数をHとし、メインへ移行した部分を抜ける時にLとなるように変更を加えた。この手法は、LD-CELPコーデックで取った手法³⁾と同じである。

この結果、処理の流れによってISRの処理時間が大きく変化することはなくなった。またLEDのダイナミック点灯制御も問題なく実行できた。

(3) 内蔵クロック周波数の測定

(2)の変更を織り込んだプログラムを2号機に書き込み、カウント試験を実施してみた。しかしながらシミュレーションではISRのコールされる周期が5msになっており、しかも処理によってほぼ一定であることを確認できたが、9分59秒の試験では6秒程度進んでいた。動作時の電源電圧は2.48Vであった。旧プログラムを使用した1号機の電源電圧は1.9Vにまで低下していたが、同じ試験を行ったところ1秒以内の誤差であった。

そこで2号機のクロック周波数をテストポイント(15番ピン)において測定してみたところ、電源電圧2.7V～2.3Vにおいて1.0093MHz～1.0089MHzであり、1%ほど進んでいた。消費電流は70mA～20mAであった。

(4) 外付け32.768kHzクロックへの変更

試作した結果では電池の消耗がかなり激しく、また内蔵クロ

ック周波数の精度が良くないことが分かった。このため外付けの32.768kHz水晶振動子を用い、周波数の低下による低消費電力化と、TMR0カウンタの再設定を不要とさせる高精度化を図ることにした。プログラムの変更点は以下の4点である。

- ・コンフィギュレーションでLP_OSCに設定
- ・PCONレジスタをコメントアウト
- ・OPTION_REGにおいてPSA=1に設定
- ・TMR0カウンタの初期値をTO_SETDATA=0に設定

以上の設定により、タイマー0割り込みの周期は256クロック(31.25ms)となり、カウンタの再設定は不要となる。

このプログラムを4号機に実装して9分59秒のカウント試験を行ったところ、約1秒の進みであり精度が向上した。このときの電源電圧は2.48V、電流は12mAである。精度は向上したものの、ダイナミック点灯の周期が31msと長くなったため、チラツキが非常に気になるようになってしまった。

そこで、ダイナミック点灯制御の流れを図18のように変更した。上部の数字はクロック数である。ポイントを以下に示す。

- ① 図11において、冒頭における全LED消灯から各桁LEDの点灯までの時間をNOPにより調整し、同一となるようにした。
- ② strobe出力がLとなる期間を5msに調整するために、3.54ms(29クロック)のタイマーを後続させた。
- ③ 1桁を表示後、全LEDを消灯させ、各桁の点灯時間を等しくなるようにして、各桁が同じ明るさで点灯するようにした。
- ④ その後start_flagを0とし、割り込み待ちに入り、ISRとタイミングをとっている。この時間は1秒経過後のバイナリ→BCD変換に要する時間を稼ぐために必須である。

まだ4MHzクロックの場合に比べると幾分気にはなるものの、実用上問題のないチラツキに抑えることができた。

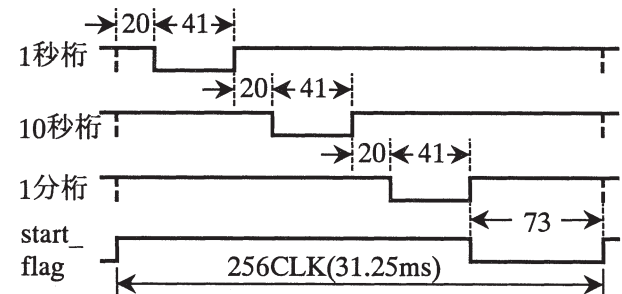


図18 ダイナミック点灯制御のタイムチャート

5. むすび

PIC16F648Aを使用したストップウォッチの設計と試作結果について述べた。

[参考文献]

- 1) PIC16F627A/628A/648A Data Sheet Flash-Based, 8-Bit CMOS Micro controllers with nano Watt Technology
- 2) 後閑哲也, “改訂版 電子工作のためのPIC16F活用ガイドブック”, 技術評論社, 平成19年
- 3) 袴田吉朗, 溝口真規, 緒方渉, 菅野純一, “LD-CELPアルゴリズムを適用した音声CODERの開発”, 静岡理科大学紀要, 第11巻, pp.35-59 (2003)